

概述1

外流 → 流体从物体外部流过



2022-4-13 西安交通大学力学课程组 1

概述2

粘性、不可压、定常、绕流 $\rho = \text{const}, \frac{\partial}{\partial t} = 0$

→ 边界层的概念、微分方程和布拉修斯解、动量积分方程及平板边界层求解、曲壁边界层的分离

✦ 基础知识

→ 不可压缩流体控制方程组，圆管湍流速度的幂次分布律，雷诺数，理想流体圆柱绕流，逆压梯度

2022-4-13 西安交通大学力学课程组 2

第十章 绕物体的粘性不可压流动

边界层的概念及三种厚度定义

边界层微分方程及平板层流边界层布拉修斯解

边界层积分方程及平板边界层求解

边界层分离

绕流物体的升力和阻力

2022-4-13 西安交通大学力学课程组 3

10.1 边界层和边界层厚度

空气 → $\nu = 1.4 \times 10^{-5} \text{ m}^2/\text{s}$

汽车 $L = 1.5 \text{ m}$
 $V = 80 \text{ km/h} = 22 \text{ m/s}$
 → $\text{Re} = 2.4 \times 10^6$

水 → $\nu = 1.3 \times 10^{-6} \text{ m}^2/\text{s}$

船 $L = 10 \text{ m}$
 $V = 10 \text{ km/h} = 2.8 \text{ m/s}$
 → $\text{Re} = 2.2 \times 10^7$



2022-4-13 西安交通大学力学课程组 4

边界层1

高 Re 数绕流, $Re \gg 1$

1904年普朗特在第三届国际数学学会上提出边界层理论

2022-4-13 西安交通大学力学课程组 5

边界层2

边界层 粘性有旋

高 Re 数绕流 { 外部势流 理想无旋

尾流区 粘性有旋 wake

边界层 相比绕流物体特征尺寸为一个薄层

◎ 概念: 高 Re 流动时, 贴近固体壁面附近的速度梯度很大, 粘性影响不能忽略并且流动有旋的薄层

2022-4-13 西安交通大学力学课程组 6

边界层厚度1

边界层厚度 $\delta(x)$ 名义边界层厚度

从物面沿外法线到速度达到势流速度99%处的距离

- ◎ 边界层厚度沿流动方向不断增大
- ◎ 反映了粘性影响范围

2022-4-13 西安交通大学力学课程组 7

边界层厚度2

边界层边界

当地速度达到外部“理想势流”流动速度99%处的连线

- ◎ 人为定义, 实际不存在
- ◎ 边界层边界不是流线
- ◎ 流体通过边界层边界不断进入边界层

2022-4-13 西安交通大学力学课程组 8

边界层厚度3

位移厚度

◎ 边界层内由于粘性的影响，质量流量比理想流体流经该区域时有所减少

2022-4-13 西安交通大学流体力学课程组 9

边界层厚度4

边界层内由粘性影响减少的流量 = 理想流体流过物面时表面向外移动 δ^* 减少的流量

$$\rho U \delta^* = \int_0^\infty \rho(U - u) dy$$

位移厚度 (排挤厚度)

$$\delta^* = \int_0^\infty \left(1 - \frac{u}{U}\right) dy$$

$$\delta^* = \int_0^\delta \left(1 - \frac{u}{U}\right) dy \approx \int_0^\delta \left(1 - \frac{u}{U}\right) dy$$

2022-4-13 西安交通大学流体力学课程组 10

边界层厚度5

动量 (损失) 厚度

◎ 边界层内由于粘性的影响，动量流量比理想流体流经该区域时有所减少

2022-4-13 西安交通大学流体力学课程组 11

边界层厚度6

边界层内由于粘性影响而减少的动量流量 = 理想流体以速度 U 流过面积为 θ 的动量流量

$$(\rho U \theta) U = \int_0^\infty \rho u (U - u) dy$$

动量 (损失) 厚度

$$\theta = \int_0^\infty \frac{u}{U} \left(1 - \frac{u}{U}\right) dy$$

$$\theta = \int_0^\delta \frac{u}{U} \left(1 - \frac{u}{U}\right) dy$$

2022-4-13 西安交通大学流体力学课程组 12

边界层内的流动状态1

层流边界层 湍流边界层

转换区

平板前缘开始 \Rightarrow 层流边界层

$x \uparrow, \delta \uparrow, Re \uparrow$ \Rightarrow 转折点 \Rightarrow 湍流边界层

2022-4-13 西安交通大学流体力学课程组 13

边界层内的流动状态2

边界层流动状态的判据

$$Re_x = \frac{Ux}{\nu} \quad Re_\delta = \frac{U\delta}{\nu}$$

其中, x 为物面上一点到前缘的距离

顺流平板 \Rightarrow $\begin{cases} (Re_x)_{cr} = 3 \times 10^5 \sim 3 \times 10^6 \\ (Re_\delta)_{cr} = 4 \times 10^3 \end{cases}$

② 不同绕流物体边界层的临界雷诺数受多种因素的影响
 来流湍流度、物体形状、壁面粗糙度、压力梯度、压缩性等等

2022-4-13 西安交通大学流体力学课程组 14

10.2 边界层微分方程

粘性、均质不可压、定常, 二元 $\Rightarrow \rho = \text{const}, \frac{\partial}{\partial t} = 0$

连续方程 $\xrightarrow{\text{量级分析}}$ 普朗特边界层微分方程

N-S方程 $\xrightarrow{\text{层流边界层解析解}}$ 边界层方程

积分形式连续方程 $\xrightarrow{\text{顺流平板近似解}}$ 边界层动量积分方程

积分形式动量方程

2022-4-13 西安交通大学流体力学课程组 15

边界层方程2

平板边界层或曲率半径远大于边界层厚度的曲面边界层

基本方程组

$$\frac{\partial u}{\partial x} + \frac{\partial v}{\partial y} = 0$$

$$u \frac{\partial u}{\partial x} + v \frac{\partial u}{\partial y} = -\frac{1}{\rho} \frac{\partial p}{\partial x} + \nu \left(\frac{\partial^2 u}{\partial x^2} + \frac{\partial^2 u}{\partial y^2} \right)$$

$$u \frac{\partial v}{\partial x} + v \frac{\partial v}{\partial y} = -\frac{1}{\rho} \frac{\partial p}{\partial y} + \nu \left(\frac{\partial^2 v}{\partial x^2} + \frac{\partial^2 v}{\partial y^2} \right)$$

2022-4-13 西安交通大学流体力学课程组 16

边界层方程3

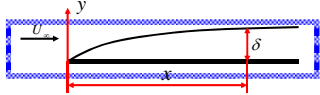
采用数量级分析法

两个基本假设

- ① $\delta/L \ll 1$
- ② 在边界层内粘性力和惯性力具有相同量级

量级分析

$$u \sim U_\infty$$

$$x \sim L, y \sim \delta, \frac{\partial}{\partial x} \sim \frac{1}{L}, \frac{\partial}{\partial y} \sim \frac{1}{\delta}$$


2022-4-13 西安交通大学流体力学课程组 17

边界层方程4

连续方程

$$\frac{\partial u}{\partial x} + \frac{\partial v}{\partial y} = 0$$

$$\frac{U_\infty}{L} \sim \frac{v}{\delta}$$

$$\Rightarrow \frac{U_\infty}{L} \sim \frac{v}{\delta} \Rightarrow v \sim U_\infty \frac{\delta}{L} \Rightarrow v \ll U_\infty \text{ 或 } v \ll u$$

有旋证明

$$\omega_z = \frac{1}{2} \left(\frac{\partial v}{\partial x} - \frac{\partial u}{\partial y} \right)$$

$$\frac{v}{L} \ll \frac{U_\infty}{\delta} \Rightarrow \omega_z \neq 0$$

2022-4-13 西安交通大学流体力学课程组 18

边界层方程5

运动方程量级分析

$$u \frac{\partial u}{\partial x} + v \frac{\partial u}{\partial y} = -\frac{1}{\rho} \frac{\partial p}{\partial x} + \nu \frac{\partial^2 u}{\partial x^2} + \nu \frac{\partial^2 u}{\partial y^2}$$

$$\frac{U_\infty^2}{L} \sim \frac{U_\infty^2}{L} \quad \nu \frac{U_\infty}{L^2} \quad \nu \frac{U_\infty}{\delta^2}$$

$$u \frac{\partial v}{\partial x} + v \frac{\partial v}{\partial y} = -\frac{1}{\rho} \frac{\partial p}{\partial y} + \nu \frac{\partial^2 v}{\partial x^2} + \nu \frac{\partial^2 v}{\partial y^2}$$

$$\frac{\delta U_\infty^2}{L^2} \sim \frac{\delta U_\infty^2}{L^2} \quad \nu \frac{\delta U_\infty}{L^3} \quad \nu \frac{U_\infty}{L \delta}$$

$$\frac{\partial u}{\partial x} \sim \frac{U_\infty}{L}, v \sim U_\infty \frac{\delta}{L}$$

2022-4-13 西安交通大学流体力学课程组 19

边界层方程6

x 方向动量方程量级的比较

$$\frac{\delta}{L} \ll 1 \Rightarrow \nu \frac{U_\infty}{L^2} \ll \nu \frac{U_\infty}{\delta^2} \Rightarrow \text{略去 } \nu \frac{\partial^2 u}{\partial x^2}$$

$\frac{\partial p}{\partial x}$ 是被动的力，起调节作用，它的量阶由方程中其它力中的最大量级决定

x 方向简化后动量方程

$$u \frac{\partial u}{\partial x} + v \frac{\partial u}{\partial y} = -\frac{1}{\rho} \frac{\partial p}{\partial x} + \nu \frac{\partial^2 u}{\partial y^2}$$

$$\frac{\partial u}{\partial x} + v \frac{\partial u}{\partial y} = -\frac{1}{\rho} \frac{\partial p}{\partial x} + \nu \frac{\partial^2 u}{\partial x^2} + \nu \frac{\partial^2 u}{\partial y^2}$$

$$\frac{U_\infty^2}{L} \sim \frac{U_\infty^2}{L} \quad \nu \frac{U_\infty}{L^2} \quad \nu \frac{U_\infty}{\delta^2}$$

2022-4-13 西安交通大学流体力学课程组 20

边界层方程7

δ量级的估计 粘性项与惯性项具有相同的量级

$$\frac{U_\infty^2}{L} \sim \nu \frac{U_\infty}{\delta^2} \Rightarrow \delta \sim \sqrt{\frac{\nu L}{U_\infty}} \Rightarrow \frac{\delta}{L} \sim \sqrt{\frac{\nu}{U_\infty L}}$$

$$\frac{\delta}{L} \ll 1 \Rightarrow \frac{L}{\delta} \gg 1 \Rightarrow \frac{L^2}{\delta^2} \sim \frac{U_\infty L}{\nu} = Re_L \gg 1$$

$\frac{\delta}{L} \ll 1$ 的假设相当于 $Re_L \gg 1$

y方向动量方程量级的比较

y方向方程惯性和粘性力项均是x方向方程相应项量级的δ/L倍，可以忽略

$$\left\{ \frac{U_\infty^2}{L}, \frac{U_\infty^2}{L}, \nu \frac{U_\infty}{L^2}, \nu \frac{U_\infty}{L\delta} \right\}$$

2022-4-13 西安交通大学流体力学课程组 21

边界层方程7

普朗特边界层微分方程

$$\frac{\partial u}{\partial x} + \frac{\partial v}{\partial y} = 0$$

$$u \frac{\partial u}{\partial x} + v \frac{\partial u}{\partial y} = -\frac{1}{\rho} \frac{\partial p}{\partial x} + \nu \frac{\partial^2 u}{\partial y^2}$$

$$\frac{\partial p}{\partial y} = 0$$

边界层内压强沿y(垂直壁面)方向保持不变

- ④ 方程数目减少
- ④ 项数减少
- ④ 椭圆型转化为抛物型
- ④ 仍然是非线性方程

2022-4-13 西安交通大学流体力学课程组 22

边界层方程8

④ 外部势流压强可由伯努利方程求得

$$p + \frac{1}{2} \rho U_e^2 = C \Rightarrow -\frac{1}{\rho} \frac{dp}{dx} = U_e \frac{dU_e}{dx}$$

$$\frac{\partial u}{\partial x} + \frac{\partial v}{\partial y} = 0$$

$$u \frac{\partial u}{\partial x} + v \frac{\partial u}{\partial y} = U_e \frac{dU_e}{dx} + \nu \frac{\partial^2 u}{\partial y^2}$$

基本边界条件 $u(x, 0) = 0, v(x, 0) = 0, u(x, \infty) = U_e$

适用条件

④ 定常、二维、不可压、层流、质量力忽略、平板或大曲率曲面边界层

2022-4-13 西安交通大学流体力学课程组 23

边界层的主要特征

- ④ 与物体特征长度比，边界层厚度很小
- ④ 边界层沿流体流动方向逐渐增厚，其外缘与流线不重合
- ④ 边界层内沿壁面法线方向速度梯度很大
- ④ 边界层内粘性力和惯性力是同一数量级
- ④ 边界层内流动是有旋流动
- ④ 边界层内沿壁面法线方向各点压强相等
- ④ 边界层内流动也有层流、湍流两种流态

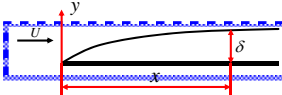
2022-4-13 西安交通大学流体力学课程组 24

10.3 平板边界层的布拉修斯解

均匀来流顺流流过半无限大薄平板的边界层

顺流平板边界层特性

外部势流均匀流动，速度 U 为常数，压强 p 也为常数，**边界层内压强为常数**



$$U = \text{const} \quad \frac{dU}{dx} = 0$$

进一步简化方程

$$\begin{cases} \frac{\partial u}{\partial x} + \frac{\partial v}{\partial y} = 0 \\ u \frac{\partial u}{\partial x} + v \frac{\partial u}{\partial y} = \nu \frac{\partial^2 u}{\partial y^2} \end{cases}$$

边界条件

$$u(x, 0) = 0, \quad v(x, 0) = 0, \quad u(x, \infty) = U$$

$\frac{\partial u}{\partial x} + \frac{\partial v}{\partial y} = 0$
 $u \frac{\partial u}{\partial x} + v \frac{\partial u}{\partial y} = U \frac{dU}{dx} + \nu \frac{\partial^2 u}{\partial y^2}$

方程解法

- ① 方程是两个自变量抛物型偏微分方程
- ② 自变量 x 和 y 无特征尺寸
- ③ 求解可以采用相似解法

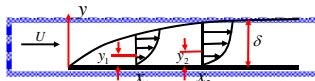
相似解法

- ① 含两个自变量的抛物型偏微分方程的一种特殊解法
- ② 适用于两个自变量无特征量
- ③ 利用变量的某种组合，引进新的**相似变量**，将偏微分方程转换为**常微分方程**

方程求解

边界层相似解

若 $\frac{y_1}{\delta_1(x_1)} = \frac{y_2}{\delta_2(x_2)}$



$\Rightarrow \frac{u(x_1, y_1)}{U} = \frac{u(x_2, y_2)}{U}$

$\Rightarrow \frac{u}{U}$ 只是 $\eta = \frac{y}{\delta}$ 的函数 $\Rightarrow \frac{u}{U} = g(\eta)$

- ① 以 $\frac{u}{U}$ 和 $\frac{y}{\delta}$ 绘制速度分布图，两个截面的速度剖面将会重合
- ② 边界层具有相似解

方程求解

由粘性项与惯性项具有相同的量级

$$\frac{U_\infty^2}{L} \sim \nu \frac{U_\infty}{\delta^2} \Rightarrow \delta \sim \sqrt{\frac{\nu L}{U_\infty}} \Rightarrow \delta \propto \sqrt{\frac{\nu x}{U}}$$

相似变量 $\Rightarrow \eta = \frac{y}{\delta} = \frac{y}{\sqrt{\nu x / U}}$

流函数 $\psi(x, y) \Rightarrow u = \frac{\partial \psi}{\partial y} \quad v = -\frac{\partial \psi}{\partial x}$

$$u = \frac{\partial \psi}{\partial y} = \frac{\partial \psi}{\partial \eta} \frac{\partial \eta}{\partial y} = \sqrt{\frac{U}{\nu x}} \frac{\partial \psi}{\partial \eta}$$

可令 $\frac{u}{U} = g(\eta) = f'(\eta)$ 则 $\frac{\partial \psi}{\partial \eta} = \sqrt{\nu x U} f'(\eta)$

方程转换

积分 $\psi = \sqrt{\nu U x} f(\eta)$

流函数方程

由 $u = \frac{\partial \psi}{\partial y}$ $v = -\frac{\partial \psi}{\partial x}$

$$u \frac{\partial u}{\partial x} + v \frac{\partial u}{\partial y} = \nu \frac{\partial^2 u}{\partial y^2}$$

$$\Rightarrow \frac{\partial \psi}{\partial y} \frac{\partial^2 \psi}{\partial x \partial y} - \frac{\partial \psi}{\partial x} \frac{\partial^2 \psi}{\partial y^2} = \nu \frac{\partial^3 \psi}{\partial y^3}$$

④ 将 $\psi = \sqrt{\nu U x} f(\eta)$ 代入建立 f 的方程

方程转换

$\eta = \frac{y}{\sqrt{\nu x / U}} \Rightarrow \frac{\partial \eta}{\partial y} = \sqrt{\frac{U}{\nu x}} \quad \frac{\partial \eta}{\partial x} = -\frac{1}{2} \frac{y}{\sqrt{\nu x^3 / U}} \quad \psi = \sqrt{\nu U x} f(\eta)$

$$\frac{\partial \psi}{\partial y} = \sqrt{\nu U x} f'(\eta) \frac{\partial \eta}{\partial y} = \sqrt{\nu U x} \sqrt{\frac{U}{\nu x}} f' = U f'$$

$$\frac{\partial^2 \psi}{\partial y^2} = U \sqrt{\frac{U}{\nu x}} f'' \quad \frac{\partial^3 \psi}{\partial y^3} = \frac{U^2}{\nu x} f'''$$

$$\frac{\partial \psi}{\partial x} = \frac{1}{2} \sqrt{\frac{\nu U}{x}} f(\eta) + \sqrt{\nu U x} f'(\eta) \left(-\frac{1}{2} \frac{y}{\sqrt{\nu x^3 / U}} \right) = \frac{1}{2} \sqrt{\frac{\nu U}{x}} (f - \eta f')$$

$$\frac{\partial^2 \psi}{\partial x \partial y} = -\frac{U}{2} \sqrt{\frac{U}{\nu}} \frac{y}{x^{3/2}} f'' = -\frac{U}{2x} \eta f''$$

转换后常微分方程

代人流函数方程

$$-\frac{U^2}{2x} \eta f f'' - \frac{U^2}{2x} (f - \eta f') f'' = \frac{U^2}{x} f'''$$

$$-\frac{U^2}{2x} f f'' = \frac{U^2}{x} f'''$$

$$\Rightarrow f''' + \frac{1}{2} f f'' = 0 \quad \text{布拉休斯方程}$$

⑤ 方程中未出现 x 或 y ，是 $f(\eta)$ 的常微分方程，存在相似性假设正确

边界条件转换

$$f''' + \frac{1}{2} f f'' = 0$$

$$u = \frac{\partial \psi}{\partial y} = U f' \Rightarrow$$

$$u(x, 0) = 0 \Rightarrow f'(0) = 0$$

$$u(x, \infty) = U \Rightarrow f'(\infty) = 1$$

$$-v = \frac{\partial \psi}{\partial x} = \frac{1}{2} \sqrt{\frac{\nu U}{x}} (f - \eta f')$$

$$v(x, 0) = 0 \Rightarrow f(0) = 0$$

布拉修斯方程求解

$$f''' + \frac{1}{2}ff'' = 0$$

$$f(0) = f'(0) = 0, f'(\infty) = 1$$

- ④ 解析解仍然困难，可得级数解和数值解
- ④ 常微分方程数值解比偏微分方程数值解精确
- ④ 数值解已经以表格形式给出

布拉修斯方程数值解

平板边界层函数 $f \quad f' \quad f''$

$\eta = y\sqrt{\frac{U}{\nu x}}$	f	$f' = \frac{u}{U}$	f''
0	0	0	0.33206
4.4	2.69238	0.97587	0.03897
5.0	3.28329	0.99155	0.01591
5.4	3.68094	0.99616	0.00793
...
8.0	6.27923	1.00000	0.00001
8.4	6.67923	1.00000	0.00000

边界层厚度

$u/U \approx 0.99$ 对应的 y 即为边界层厚度

由数值计算结果: $\eta = 5.0$ 时 $f' = u/U \approx 0.99$

$$\eta_\delta = \frac{\delta}{\sqrt{\nu x / U}} = 5.0$$

$$\Rightarrow \delta = 5.0 \sqrt{\nu x / U} = \frac{5.0x}{\sqrt{\text{Re}}} \quad \text{Re} = \frac{Ux}{\nu}$$

层流边界层厚度与流体性质、来流速度及距前缘的距离有关

$$\Rightarrow \delta \propto x^{1/2}$$

位移厚度

$$\begin{aligned} \delta^* &= \int_0^\infty \left(1 - \frac{u}{U}\right) dy = \sqrt{\frac{\nu x}{U}} \int_0^\infty (1 - f') d\eta \\ &= \sqrt{\frac{\nu x}{U}} [\eta - f(\eta)]_0^\infty = \sqrt{\frac{\nu x}{U}} \lim_{\eta \rightarrow \infty} [\eta - f(\eta)] \end{aligned}$$

由数值计算结果: η 大于 7.8 后, $\eta - f$ 已经为常数 1.721

$$\Rightarrow \delta^* = 1.721 \sqrt{\frac{\nu x}{U}}$$

$$\delta^* = \frac{1.721x}{\sqrt{\text{Re}}} \quad \text{Re} = \frac{Ux}{\nu}$$

边界层厚度

$$\theta = \int_0^\infty \frac{u}{U} \left(1 - \frac{u}{U}\right) dy = \sqrt{\frac{\nu x}{U}} \int_0^\infty f'(1-f') d\eta \quad \text{采用分部积分}$$

$$= \sqrt{\frac{\nu x}{U}} \left\{ [f(1-f')]_0^\infty + \int_0^\infty f f'' d\eta \right\}$$

由数值计算结果: $f'(0) = 0$, $\eta \rightarrow \infty, f' = 1$

$$\theta = \sqrt{\frac{\nu x}{U}} \int_0^\infty f f'' d\eta = 2\sqrt{\frac{\nu x}{U}} \int_0^\infty -f''' d\eta = 2\sqrt{\frac{\nu x}{U}} f''(0) \quad \text{由布拉修斯方程}$$

$$f''(0) = 0.332 \quad \Rightarrow \quad \theta = \frac{0.664x}{\sqrt{\text{Re}}}$$

$$\Rightarrow \quad \theta < \delta^* < \delta$$

壁面切应力

$$\tau_0 = \mu \frac{\partial u}{\partial y}(x, 0) = \mu \frac{\partial^2 \psi}{\partial y^2}(x, 0) = \mu \sqrt{\frac{U^3}{\nu x}} f''(0)$$

由数值计算结果

$$y=0 \quad \eta=0 \quad f''=0.332$$

$$\tau_0 = 0.332 \mu \sqrt{U^3 / \nu x}$$

$$C_f = \frac{\tau_0(x)}{\rho U^2 / 2} = \frac{2f''(0)}{\sqrt{\text{Re}}} = \frac{0.664}{\sqrt{\text{Re}}} \quad \text{Re} = \frac{Ux}{\nu}$$

随着离平板前缘距离 x 的增大, 壁面切应力减小

$\eta = \frac{y}{\sqrt{\nu x / U}}$
 $\psi = \sqrt{\nu U x} f(\eta)$
 $u = \frac{\partial \psi}{\partial y} = U f'$
 $\frac{\partial^2 \psi}{\partial y^2} = U \sqrt{\frac{U}{\nu x}} f''$

壁面摩擦阻力和阻力 (阻力) 系数

阻力基本公式

$$F_D = C_D \frac{1}{2} \rho U^2 A$$

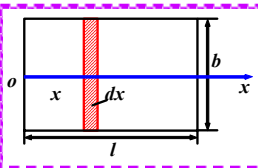
C_D - 阻力系 (因) 数

平板壁面总摩擦力

$$F_D = \int_0^L \tau_0(x) b dx = C_D \frac{1}{2} \rho U^2 L b$$

阻力系 (因) 数

$$C_D = \frac{F_D / L}{\rho U^2 / 2} = \frac{1}{L} \int_0^L \frac{\tau_0(x)}{\rho U^2 / 2} dx = \frac{0.664}{x} \int_0^L \frac{dx}{\sqrt{Ux / \nu}}$$

$$\Rightarrow \quad C_D = \frac{1.328}{\sqrt{\text{Re}}} \quad \text{Re} = \frac{UL}{\nu}$$


相似解适用范围

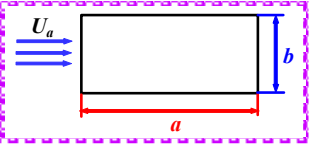
$$\frac{\tau_0(x)}{\rho U^2 / 2} = \frac{0.664}{\sqrt{\text{Re}}}$$

- ① $x \rightarrow 0, \tau_0 \rightarrow \infty$, 物理上不成立, 说明不适用前缘附近
- ② 在前缘点附近是小雷诺数流动, u 和 v 变化具有相同的数量级, 不满足边界层近似条件, 布拉修斯解不适用
- ③ 布拉修斯解适用范围 $10^3 < \text{Re} < 5 \times 10^5$, 与实验测量符合很好
- ④ $\text{Re} > 5 \times 10^5$ 时, 层流边界层转换为湍流边界层, 微分方程不适用湍流

顺流平板层流边界层—例题1

例：矩形平板边长为 a 和 b ，若在静止流体中沿边 a 方向以 U_a 拖动平板与沿边 b 方向以 U_b 拖动平板的阻力相等，求 U_a/U_b ，层流边界层。

解：沿边 a 方向拖动



$$F_D = C_D \frac{1}{2} \rho V_\infty^2 A \times 2$$

其中： $V_\infty = U_a$ $A = ab$

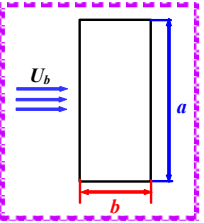
$$\text{Re}_l = \frac{U_a a}{\nu} \quad \Rightarrow \quad C_D = \frac{1.328}{\sqrt{\text{Re}_l}} = \frac{1.328}{\sqrt{U_a a / \nu}}$$

2022-4-13 西安交通大学力学课程组 41

顺流平板层流边界层—例题1

$$\Rightarrow F_{Da} = \frac{1.328}{\sqrt{U_a a / \nu}} \rho U_a^2 ab = 1.328 \rho b \sqrt{U_a^3 a \nu}$$

沿边 b 方向拖动



$$F_D = C_D \frac{1}{2} \rho V_\infty^2 A \times 2$$

其中： $V_\infty = U_b$ $A = ab$

$$\text{Re}_l = \frac{U_b b}{\nu} \quad \Rightarrow \quad C_D = \frac{1.328}{\sqrt{\text{Re}_l}} = \frac{1.328}{\sqrt{U_b b / \nu}}$$

2022-4-13 西安交通大学力学课程组 42

顺流平板层流边界层—例题1

$$\Rightarrow F_{Db} = \frac{1.328}{\sqrt{U_b b / \nu}} \rho U_b^2 ba = 1.328 \rho a \sqrt{U_b^3 b \nu}$$

由 $F_{Da} = F_{Db}$

$$\Rightarrow 1.328 \rho b \sqrt{U_a^3 a \nu} = 1.328 \rho a \sqrt{U_b^3 b \nu}$$

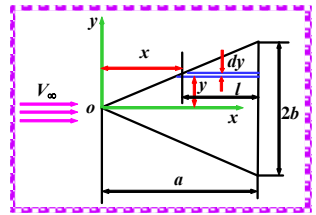
$$\Rightarrow \frac{U_a}{U_b} = \sqrt[3]{\frac{a}{b}}$$

2022-4-13 西安交通大学力学课程组 43

顺流平板层流边界层—例题2

例：水流速度 V_∞ ，密度为 ρ ，动力粘性系数 μ ，水流方向与三角形对称轴方向一致，设边界层为层流边界层，求平板两侧受到的阻力。

解：取微元面



$$dF_D = C_D \frac{1}{2} \rho V_\infty^2 dA$$

其中： $dA = l dy$

$$= \left(a - \frac{a}{b} y \right) dy$$

2022-4-13 西安交通大学力学课程组 44

顺流平板层流边界层—例题2

$$\text{Re}_l = \frac{\rho V_\infty l}{\mu}$$

$$= \frac{\rho V_\infty}{\mu} \left(a - \frac{a}{b} y \right)$$

→ $C_D = \frac{1.328}{\sqrt{\text{Re}_l}} = \frac{1.328}{\sqrt{\rho V_\infty (a - ay/b) / \mu}}$

→ $dF_D = 0.664 \sqrt{\rho \mu V_\infty^3} \sqrt{(a - ay/b)} dy$

2022-4-13 西安交通大学流体力学课程组 45

顺流平板层流边界层—例题2

由流动的对称性以及三角形平板两侧均受阻力

↓

$$F_D = 4 \int_0^b 0.664 \sqrt{\rho \mu V_\infty^3} \sqrt{\left(a - \frac{a}{b} y \right)} dy = 1.771 \sqrt{\rho \mu a} V_\infty^3 b$$

2022-4-13 西安交通大学流体力学课程组 46

10.4 边界层动量积分方程

对控制体的动量方程—近似计算方法

假设

- ① 定常不可压
- ② 二元边界层
- ③ 物面曲率很小

CV 所受外力之和=净流出 CV 的动量流率

2022-4-13 西安交通大学流体力学课程组 47

边界层动量积分方程2

微元面x方向受力

壁面摩擦力 → $\tau_w dx$

AB面压力 → $p \delta$

CD面压力 → $\left(p + \frac{\partial p}{\partial x} dx \right) \left(\delta + \frac{\partial \delta}{\partial x} dx \right)$ 边界层内 $\frac{\partial p}{\partial y} \approx 0$

AC面压力 → $\frac{1}{2} \left(p + p + \frac{dp}{dx} dx \right) ds \cdot \sin \alpha = \left(p + \frac{1}{2} \frac{dp}{dx} dx \right) d\delta$

x方向合力 → $F_x = -\delta \frac{dp}{dx} dx - \tau_w dx$

2022-4-13 西安交通大学流体力学课程组 48

边界层动量积分方程3

流入及流出流量分析

从AB流入质量流量 $\Rightarrow \int_0^\delta \rho u dy$

从CD流出质量流量 $\Rightarrow \int_0^{\delta+d\delta} \rho u dy + \frac{d}{dx} \left(\int_0^\delta \rho u dy \right) dx$

由积分型连续方程

从AC流入CV的质量流量 $\Rightarrow \frac{d}{dx} \left(\int_0^\delta \rho u dy \right) dx$

2022-4-13 西安交通大学流体力学课程组 49

边界层动量积分方程4

流入及流出动量分析

从AB流入的 x 方向的动量 $\Rightarrow \int_0^\delta \rho u^2 dy$

从CD流出的 x 方向的动量 $\Rightarrow \int_0^{\delta+d\delta} \rho u^2 dy + \frac{d}{dx} \left(\int_0^\delta \rho u^2 dy \right) dx$

从AC流入CV的动量流量 $\Rightarrow \frac{d}{dx} \left(\int_0^\delta \rho u dy \right) dx$

2022-4-13 西安交通大学流体力学课程组 50

边界层动量积分方程5

控制体中x方向动量的净流出率

$$\frac{d}{dx} \left(\int_0^\delta \rho u^2 dy \right) dx - U \frac{d}{dx} \left(\int_0^\delta \rho u dy \right) dx$$

x 方向外力合力

$$F_x = -\delta \frac{dp}{dx} dx - \tau_w dx$$

动量定理，外力之和=动量的净流出率

$$\Rightarrow \frac{d}{dx} \left(\int_0^\delta \rho u^2 dy \right) dx - U \frac{d}{dx} \left(\int_0^\delta \rho u dy \right) dx = -\tau_w dx - \delta \frac{dp}{dx} dx$$

2022-4-13 西安交通大学流体力学课程组 51

边界层动量积分方程6

边界层动量积分方程

$$\frac{d}{dx} \left(\int_0^\delta \rho u^2 dy \right) - U \frac{d}{dx} \left(\int_0^\delta \rho u dy \right) = -\tau_w - \delta \frac{dp}{dx}$$

适用条件

- ① 不可压定常
- ② 二元边界层，物面曲率很小
- ③ 对层流边界层和湍流边界层均适用

2022-4-13 西安交通大学流体力学课程组 52

边界层动量积分方程7

$$\frac{d}{dx} \left(\int_0^\delta \rho u^2 dy \right) - U \frac{d}{dx} \left(\int_0^\delta \rho u dy \right) = -\tau_w - \delta \frac{dp}{dx}$$

外部势流，密度为常数，根据伯努利方程

$$p + \frac{1}{2} \rho U^2 = C \quad \Rightarrow \quad \frac{dp}{dx} = -\rho U \frac{dU}{dx}$$

$$\Rightarrow \rho \frac{d}{dx} \left(\int_0^\delta u^2 dy \right) - \rho U \frac{d}{dx} \left(\int_0^\delta u dy \right) = -\tau_w + \delta \rho U \frac{dU}{dx}$$

边界上速度分布 U 只是 x 的函数

$$\Rightarrow \rho U \frac{d}{dx} \left(\int_0^\delta u dy \right) = \rho \frac{d}{dx} \left(U \int_0^\delta u dy \right) - \rho \frac{dU}{dx} \int_0^\delta u dy$$

2022-4-13 西安交通大学流体力学课程组 53

边界层动量积分方程8

$$\Rightarrow = \rho \frac{d}{dx} \left(\int_0^\delta U u dy \right) - \rho \frac{dU}{dx} \int_0^\delta u dy$$

代入边界层动量积分方程

$$\Rightarrow \rho \frac{d}{dx} \left(\int_0^\delta u^2 dy \right) - \rho \frac{d}{dx} \left(\int_0^\delta U u dy \right) + \rho \frac{dU}{dx} \int_0^\delta u dy = -\tau_w + \delta \rho U \frac{dU}{dx} = -\tau_w + \rho \frac{dU}{dx} \int_0^\delta U dy$$

合并整理

$$\Rightarrow -\rho \frac{d}{dx} \left[\int_0^\delta (Uu - u^2) dy \right] - \rho \frac{dU}{dx} \left[\int_0^\delta (U - u) dy \right] = -\tau_w$$

由 $\delta^* = \int_0^\delta \left(1 - \frac{u}{U}\right) dy \quad \theta = \int_0^\delta \frac{u}{U} \left(1 - \frac{u}{U}\right) dy$

2022-4-13 西安交通大学流体力学课程组 54

动量积分方程的其它形式

$$\rho \frac{d}{dx} (U^2 \theta) + \rho \frac{dU}{dx} U \delta^* = \tau_w$$

或

$$\frac{d\theta}{dx} + \frac{1}{U} \frac{dU}{dx} (2\theta + \delta^*) = \frac{\tau_w}{\rho U^2}$$

令 $H = \delta^* / \theta$ 形状因子

$$\frac{d\theta}{dx} + \frac{\theta}{U} \frac{dU}{dx} (2 + H) = \frac{\tau_w}{\rho U^2}$$

2022-4-13 西安交通大学流体力学课程组 55

动量积分方程求解

应用动量积分方程解边界层问题

$$\frac{d\theta}{dx} + \frac{1}{U} \frac{dU}{dx} (2\theta + \delta^*) = \frac{\tau_w}{\rho U^2}$$

方程未知数 u, δ, τ_w , 需补充关系式

- ② 边界层速度分布
- ② 壁面摩擦应力

2022-4-13 西安交通大学流体力学课程组 56

速度分布在边界上应满足的条件2

速度分布满足的主要条件

自然边界条件

- ① 无滑移边界条件

$$y = 0 \Rightarrow \boxed{u = 0, v = 0} \quad \boxed{\tau = \tau_w}$$
- ② 边界层外界与势流衔接处条件

$$y = \delta \Rightarrow \boxed{u = U} \quad \boxed{\tau = 0} \Rightarrow \boxed{\frac{\partial u}{\partial y} = 0}$$

2022-4-13 西安交通大学流体力学课程组 57

速度分布在边界上应满足的条件3

相容边界条件

- ① 边界层外界处速度对 y 的各阶导数均为零

$$y = \delta \Rightarrow \boxed{\frac{\partial^n u}{\partial y^n} = 0} \quad n = 1, 2, 3 \dots$$
- ② $y = 0$ 时, $u = 0, v = 0$

由二元定常边界层 N-S 方程

$$u \frac{\partial u}{\partial x} + v \frac{\partial u}{\partial y} = U \frac{dU}{dx} + \nu \frac{\partial^2 u}{\partial y^2} \Rightarrow \boxed{\frac{\partial^2 u}{\partial y^2} = -\frac{U}{\nu} \frac{dU}{dx}}$$

2022-4-13 西安交通大学流体力学课程组 58

速度分布在边界上应满足的条件4

- ③ $y = 0$ 时, $u = 0, v = 0$

$$u \frac{\partial u}{\partial x} + v \frac{\partial u}{\partial y} = U \frac{dU}{dx} + \nu \frac{\partial^2 u}{\partial y^2} \quad \text{对 } y \text{ 求导}$$

$$\Rightarrow \frac{\partial u}{\partial y} \left(\frac{\partial u}{\partial x} + \frac{\partial v}{\partial y} \right) + u \frac{\partial^2 u}{\partial x \partial y} + v \frac{\partial^2 u}{\partial y^2} = \nu \frac{\partial^3 u}{\partial y^3}$$

$$\Rightarrow \boxed{\frac{\partial^3 u}{\partial y^3} = 0}$$

2022-4-13 西安交通大学流体力学课程组 59

边界条件选用的优先顺序

$$u(x, 0) = 0$$

$$u(x, \delta) = U$$

$$\frac{\partial u}{\partial y}(x, \delta) = 0$$

$$\frac{\partial^2 u}{\partial y^2}(x, 0) = -\frac{U}{\nu} \frac{dU}{dx}$$

$$\frac{\partial^2 u}{\partial y^2}(x, \delta) = 0, \dots$$

其中 $\boxed{\frac{\partial^3 u}{\partial y^3}(x, 0) = -\frac{U}{\nu} \frac{dU}{dx}}$ 反映物面形状对速度剖面影响, 在曲面边界层中应尽量满足, 否则无正确结果

2022-4-13 西安交通大学流体力学课程组

10.4.1 顺流平板层流边界层

问题

- ① 均匀来流
 $V_\infty = C \quad p_\infty = C$
- ② 粘性、不可压、定常、二元
- ③ 层流边界层，板长为 L

边界层积分方程

$$\frac{d\theta}{dx} + \frac{1}{U} \frac{dU}{dx} (2\theta + \delta^*) = \frac{\tau_w}{\rho U^2}$$

外部势流沿流动方向压强梯度、速度梯度为零

2022-4-13 西安交通大学流体力学课程组 61

顺流平板层流边界层2

$$\frac{d\theta}{dx} = \frac{\tau_w}{\rho V_\infty^2}$$

即 $\frac{d}{dx} \int_0^\delta \frac{u}{V_\infty} \left(1 - \frac{u}{V_\infty}\right) dy = \frac{\tau_w}{\rho V_\infty^2}$

补充方程1—速度分布方程 常用 y 的多项式分布

$$u = a + by + cy^2 + dy^3$$

2022-4-13 西安交通大学流体力学课程组 62

顺流平板层流边界层3

$u = a + by + cy^2 + dy^3$

- ① 无滑移边界条件
 $y = 0$ 时, $u = 0$
 $\Rightarrow a = 0$
- ② 边界层与势流衔接处, $y = \delta$ 时, $u = V_\infty$
 $\Rightarrow V_\infty = b\delta + c\delta^2 + d\delta^3$
- ③ $y = \delta$ 时, $\tau = 0 \Rightarrow \frac{du}{dy} = 0$

2022-4-13 西安交通大学流体力学课程组 63

顺流平板层流边界层4

$$b + 2c\delta + 3d\delta^2 = 0$$

- ① 固体壁面上 $y = 0$ 时
 $\frac{\partial^2 u}{\partial y^2} = -\frac{U}{\nu} \frac{dU}{dx}$
 由 $\frac{dU}{dx} = 0 \Rightarrow \frac{\partial^2 u}{\partial y^2} = 2c = 0$
 $\Rightarrow a = c = 0, b = \frac{3V_\infty}{2\delta}, d = -\frac{V_\infty}{2\delta^3}$

2022-4-13 西安交通大学流体力学课程组 64

顺流平板层流边界层5

$$u = \frac{V_\infty}{2\delta} \left(3y - \frac{y^3}{\delta^2} \right)$$

补充方程2—壁面切应力方程

$$\tau_w = \mu \left(\frac{du}{dy} \right)_{y=0}$$

$$\tau_w = \frac{3}{2} \mu \frac{V_\infty}{\delta}$$

2022-4-13 西安交通大学流体力学课程组 65

圆管内的充分发展层流6

$$\theta = \int_0^\delta \frac{u}{V_\infty} \left(1 - \frac{u}{V_\infty} \right) dy = \frac{39}{280} \delta$$

$$\frac{\tau_w}{\rho V_\infty^2} = \frac{3}{2} \mu \frac{V_\infty}{\delta} / (\rho V_\infty^2) = \frac{3}{2} \mu \frac{1}{\rho \delta V_\infty}$$

$$\frac{1}{2} \delta^2 = \frac{140}{13} \frac{\mu}{\rho V_\infty} x + C$$

◎ 边界条件 $x=0$ 时, $\delta=0$

$$\delta = 4.641 \sqrt{\frac{\mu}{\rho V_\infty} x}$$

由 $Re_x = \frac{\rho x V_\infty}{\mu}$ \Rightarrow
$$\delta = 4.641 \frac{x}{\sqrt{Re_x}}$$

2022-4-13 西安交通大学流体力学课程组 66

顺流平板层流边界层8

壁面切应力

$$\tau_w = \frac{3}{2} \mu \frac{V_\infty}{\delta}$$

$$\tau_w = 0.3232 \sqrt{\frac{\mu \rho V_\infty^3}{x}}$$

壁面摩擦力

一侧表面所受的摩擦力

$$F_D = \int_0^l \tau_w b dx$$

2022-4-13 西安交通大学流体力学课程组 67

顺流平板层流边界层9

$$F_D = 0.6464 \sqrt{\mu \rho V_\infty^3} l b$$

阻力因数

$$F_D = C_D \frac{1}{2} \rho V_\infty^2 A$$

$$C_D = 1.293 \frac{1}{\sqrt{Re_L}}$$

动量积分方程的解与布拉修斯解不同，以布拉修斯解为准

2022-4-13 西安交通大学流体力学课程组 68

10.4.2. 顺流平板湍流边界层

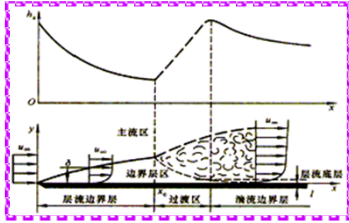
湍流边界层的特点

随机涡运动，动量交换剧烈

厚度较大，增长较快
时均速度分布更均匀

壁面处速度梯度更大

层流底层，速度迅速由0增至核心区速度



2022-4-13 西安交通大学流体力学课程组 69

顺流平板湍流边界层2

顺流平板湍流边界层

外部势流为均匀来流 $V_\infty = C$ $p_\infty = C$

边界层内 $\frac{dp}{dx} = \frac{dU}{dx} = 0 \Rightarrow \frac{d\theta}{dx} = \frac{\tau_w}{\rho V_\infty^2}$

补充方程1—速度分布方程 水力光滑平板

圆管内的速度分布 $\frac{u}{u_{\max}} = \left(\frac{y}{R}\right)^{\frac{1}{n}}$

2022-4-13 西安交通大学流体力学课程组 70

顺流平板湍流边界层3

普朗特建议，当 $Re_x = \frac{V_\infty x}{\nu} < 10^7$ 时， $n = 1/7$

④ 湍流边界层速度分布 $\frac{u}{V_\infty} = \left(\frac{y}{\delta}\right)^{\frac{1}{7}}$

补充方程2—壁面切应力方程

$$\left. \frac{\partial u}{\partial y} \right|_{y=0} = V_\infty \frac{1}{7} \delta^{-\frac{1}{7}} y^{\frac{6}{7}} \Big|_{y=0} \rightarrow \infty$$

不能用于边界层内边界求解切应力

④ 壁面切应力应用圆管湍流壁面切应力类比推得

2022-4-13 西安交通大学流体力学课程组 71

顺流平板湍流边界层4

圆管的壁面切应力 $\tau_w = \frac{R}{2} \frac{\Delta p}{l}$ P. 152, (5.26h)

$\Rightarrow \tau_w = \frac{D}{4l} \Delta p = \frac{D}{4l} f \frac{l}{D} \frac{1}{2} \rho \bar{V}^2 = \frac{f}{8} \rho \bar{V}^2$

中等Re下，水力光滑管勃拉修斯公式

$$f = \frac{0.3164}{Re^{0.25}}$$

此时管内平均速度 $\bar{V} = 0.8 u_{\max}$

2022-4-13 西安交通大学流体力学课程组 72

顺流平板湍流边界层5

$\Rightarrow \tau_w = 0.0225 \rho u_{\max}^2 \left(\frac{\nu}{Ru_{\max}} \right)^{\frac{1}{4}}$

边界层壁面 $\Rightarrow \tau_w = 0.0225 \rho V_{\infty}^2 \left(\frac{\nu}{\delta V_{\infty}} \right)^{\frac{1}{4}}$

$\theta = \int_0^{\delta} \frac{u}{V_{\infty}} \left(1 - \frac{u}{V_{\infty}} \right) dy = \int_0^{\delta} \left(\frac{y}{\delta} \right)^{\frac{1}{7}} \left[1 - \left(\frac{y}{\delta} \right)^{\frac{1}{7}} \right] dy = \frac{7}{72} \delta$

由 $\frac{d\theta}{dx} = \frac{\tau_w}{\rho V_{\infty}^2} \Rightarrow \frac{7}{72} \frac{d\delta}{dx} = 0.0225 \left(\frac{\nu}{\delta V_{\infty}} \right)^{\frac{1}{4}}$

2022-4-13 西安交通大学力学课程组 73

顺流平板湍流边界层5

积分 $\Rightarrow \frac{4}{5} \delta^{\frac{5}{4}} = 0.231 \left(\frac{\nu}{V_{\infty}} \right)^{\frac{1}{4}} x + C$

假定层流边界层长度相比平板特征长度很小，从前缘开始就是湍流

边界条件 $\Rightarrow x = 0$ 时, $\delta = 0$

湍流边界层厚度 $\Rightarrow \delta = 0.37 \left(\frac{\nu}{V_{\infty}} \right)^{\frac{1}{5}} x^{\frac{4}{5}}$

$\delta = 0.37 \frac{x}{Re_x^{0.2}} \Rightarrow \delta \propto x^{\frac{4}{5}}$

2022-4-13 西安交通大学力学课程组 74

顺流平板湍流边界层5

壁面切应力 $\frac{\tau_w}{\rho V_{\infty}^2} = 0.0225 \left(\frac{\mu}{\rho \delta V_{\infty}} \right)^{\frac{1}{4}}$

$\delta = 0.37 \left(\frac{\nu}{V_{\infty}} \right)^{\frac{1}{5}} x^{\frac{4}{5}} \Rightarrow \tau_w = 0.0289 \rho V_{\infty}^2 \left(\frac{\mu}{\rho x V_{\infty}} \right)^{\frac{1}{5}}$

$\Rightarrow \tau_w = 0.0289 \rho V_{\infty}^2 Re_x^{-1/5}$

平板一侧的壁面摩擦力 $F_D = \int_0^l \tau_w b dx$

2022-4-13 西安交通大学力学课程组 75

顺流平板湍流边界层7

阻力因数 $C_D = \frac{F_D}{\frac{1}{2} \rho V_{\infty}^2 A} = \frac{0.072}{(Re_L)^{1/5}}$ 光滑平板阻力因数只与 Re 有关

通过实际测量进行修正后为

$C_D = \frac{0.074}{(Re_L)^{1/5}} \quad 5 \times 10^5 \leq Re_L \leq 10^7$

史里希廷 (Schlichting) 公式 $C_D = \frac{0.455}{(\lg Re_L)^{2.58}} \quad 10^7 \leq Re_L \leq 10^9$

2022-4-13 西安交通大学力学课程组 76

顺流平板层流、湍流边界层计算公式

边界层的厚度

层流 $\delta \propto x^{1/2}$ $\delta = \frac{5.0x}{\sqrt{Re_x}}$ 湍流 $\delta \propto x^{4/5}$ $\delta = \frac{0.37x}{Re_x^{0.2}}$

平板阻力

$$F_D = C_D \frac{1}{2} \rho V_\infty^2 A$$

一侧的阻力

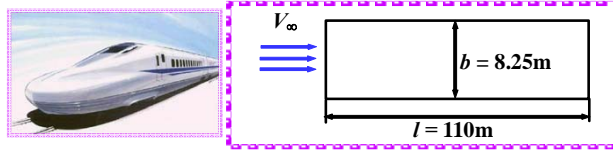
阻力系数 C_D

层流 $C_D = \frac{1.328}{\sqrt{Re_L}}$ 湍流 $C_D = \frac{0.074}{(Re_L)^{1/5}}$ $C_D = \frac{0.455}{(\lg Re_L)^{2.58}}$

2022-4-13 西安交通大学流体力学课程组 77

顺流平板湍流边界层—例题

例：流线型机车长为110m，宽为2.75m，高为2.75m。假定机车两侧和顶部摩擦阻力等效于一长110m，宽8.25m的矩形平板的摩擦阻力。空气的 $\rho = 1.22\text{kg/m}^3$ ， $\mu = 1.79 \times 10^{-5}$ ，当机车以160km/h行驶时，求：用于克服摩擦阻力的功率；机车尾部边界层厚度



2022-4-13 西安交通大学流体力学课程组 78

顺流平板湍流边界层—例题

(1) 用于克服摩擦阻力的功率

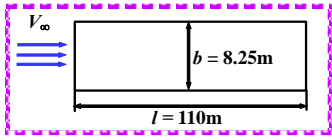
已知： $\rho = 1.22\text{kg/m}^3$

$$A = lb = 907.5\text{m}^2$$

$$V_\infty = 160\text{km/h} = 44.44\text{m/s}$$

$$Re_L = \frac{\rho V_\infty l}{\mu} = 3.33 \times 10^8 > 10^7$$

假定边界层全部为湍流边界层

$$x_{cr} = \frac{Re_{cr} \mu}{\rho V_\infty} = \frac{5 \times 10^5 \times 1.79 \times 10^{-5}}{1.22 \times 44.44} = 0.165(\text{m}) \ll 110\text{m}$$


2022-4-13 西安交通大学流体力学课程组 79

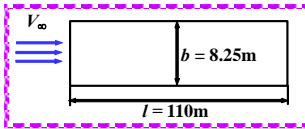
顺流平板湍流边界层—例题

平板摩擦阻力

$$F_D = C_D \frac{1}{2} \rho V_\infty^2 A$$

阻力因数采用Schlichting公式

$$C_D = \frac{0.455}{(\lg Re_L)^{2.58}} = \frac{0.455}{[\lg(3.33 \times 10^8)]^{2.58}} = 1.81 \times 10^{-3}$$

$$\dot{W} = C_D \frac{1}{2} \rho V_\infty^2 A \times V_\infty = 87.93(\text{kW})$$


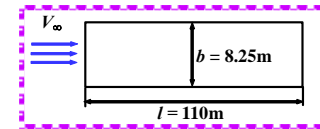
2022-4-13 西安交通大学流体力学课程组 80

顺流平板湍流边界层—例题

(2) 机车尾部边界层厚度

$$\delta_l = 0.37 \frac{l}{\text{Re}_l^{0.2}}$$

$$= 0.8039 \text{ (m)}$$



$$\delta_l \ll L$$

2022-4-13

西安交通大学流体力学课程组

81

10.4.3 顺流平板混合边界层

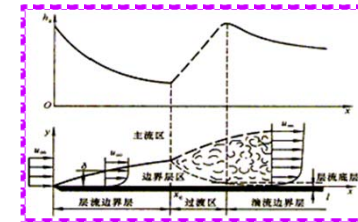
层流边界层和湍流边界层对阻力都有明显作用

判断层流向湍流转换

$$\text{Re}_{cr} = \frac{V_\infty x_{cr}}{\nu}$$

$$\text{Re}_{cr} = 3 \times 10^5 \sim 3 \times 10^6$$

其中, x_{cr} 为转换的临界长度 $x_{cr} = \frac{\text{Re}_{cr} \nu}{V_\infty}$



2022-4-13

西安交通大学流体力学课程组

82

顺流平板混合边界层

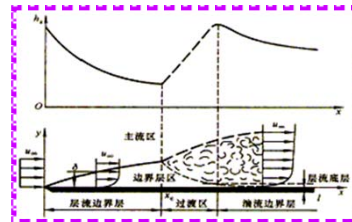
边界层类型判断

$$L < x_{cr} \text{ 或 } \text{Re}_L = \frac{V_\infty L}{\nu} < \text{Re}_{cr}$$

层流边界层

$$L > x_{cr} \text{ 或 } \text{Re}_L = \frac{V_\infty L}{\nu} > \text{Re}_{cr}$$

混合边界层



2022-4-13

西安交通大学流体力学课程组

83

顺流平板混合边界层2

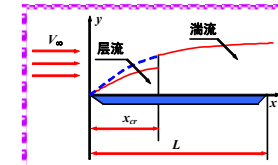
阻力的简单模型

$$F_D = F_{DL} - F_{Dx_{cr}l} + F_{Dx_{cr}l}$$

全部湍流

x_{cr} 之前湍流

x_{cr} 之前层流



x_{cr} 之前层流

$$C_{Dx_{cr}l} = \frac{1.328}{\text{Re}_{cr}^{1/2}}$$

$$F_{Dx_{cr}l} = C_{Dx_{cr}l} \frac{1}{2} \rho V_\infty^2 b x_{cr}$$

x_{cr} 之前湍流

$$C_{Dx_{cr}l} = \frac{0.074}{\text{Re}_{cr}^{1/5}}$$

$$F_{Dx_{cr}l} = C_{Dx_{cr}l} \frac{1}{2} \rho V_\infty^2 b x_{cr}$$

2022-4-13

西安交通大学流体力学课程组

84

顺流平板混合边界层2

全部湍流

$$Re_L \leq 10^7 \quad 10^7 < Re_L < 10^9$$

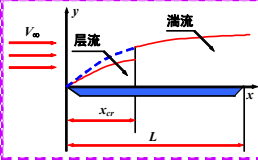
$$C_{DL} = \frac{0.074}{Re_L^{1/5}} \quad C_{DL} = \frac{0.455}{(\lg Re_L)^{2.58}}$$

$$F_{DL} = C_{DL} \frac{1}{2} \rho V_\infty^2 b L$$

$Re_L \leq 10^7$

$$F_D = \frac{1}{2} \rho V_\infty^2 b \left[\frac{0.074}{Re_L^{1/5}} L - \frac{0.074}{Re_{cr}^{1/5}} x_{cr} + \frac{1.328}{Re_{cr}^{1/2}} x_{cr} \right]$$

$10^7 < Re_L < 10^9$

$$F_D = \frac{1}{2} \rho V_\infty^2 b \left[\frac{0.455}{(\lg Re_L)^{2.58}} L - \frac{0.074}{Re_{cr}^{1/5}} x_{cr} + \frac{1.328}{Re_{cr}^{1/2}} x_{cr} \right]$$


2022-4-13 西安交通大学流体力学课程组 85

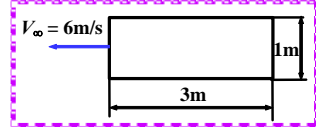
顺流平板混合边界层—例题

例: $\rho = 1000 \text{ kg/m}^3$, $\mu = 1.0 \times 10^{-3} \text{ Pa}\cdot\text{s}$, 临界Re数 $Re_{cr} = 5 \times 10^5$, 试确定平板前1m两侧所受的阻力

解: 平板前 1m 所受的阻力

临界长度 $x_{cr} = \frac{\mu}{\rho V_\infty} Re_{cr} = 0.0833 \text{ (m)}$

$Re_L = \frac{\rho V_\infty L}{\mu} = \frac{1000 \times 6 \times 1}{1.0 \times 10^{-3}} = 6 \times 10^6$ 混合边界层



2022-4-13 西安交通大学流体力学课程组 86

顺流平板混合边界层—例题

(1) 按混合边界层计算

$$F_D = 2 \times \frac{1}{2} \rho V_\infty^2 b \left[\frac{0.074}{(Re_L)^{1/5}} L - \frac{0.074}{(Re_{cr})^{1/5}} x_{cr} + \frac{1.328}{(Re_{cr})^{1/2}} x_{cr} \right]$$

$F_D = 107 \text{ (N)}$

(2) 平板前缘开始即为湍流边界层

$$F_D = C_D 2 \times \frac{1}{2} \rho V_\infty^2 b \times 1 \quad \text{其中: } C_D = \frac{0.074}{Re_L^{1/5}}$$

$F_D = 117 \text{ (N)}$

2022-4-13 西安交通大学流体力学课程组 87

10.5 曲壁边界层分离现象

理想流体绕曲壁流动

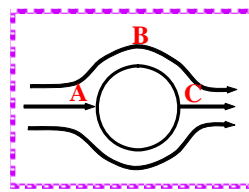
A \rightarrow B \rightarrow $u = 0 \sim 2V_\infty$

\rightarrow $\partial p / \partial s < 0$

\rightarrow 顺压梯度

B \rightarrow C \rightarrow $u = 2V_\infty \sim 0$ \rightarrow $\partial p / \partial s > 0$

\rightarrow 逆压梯度



2022-4-13 西安交通大学流体力学课程组 88

曲壁边界层分离现象2

$\frac{\partial p}{\partial x} < 0$
 $\frac{\partial p}{\partial x} > 0$
 $\frac{\partial u}{\partial y} \Big|_{y=0} > 0$
 $\frac{\partial u}{\partial y} \Big|_{y=0} = 0$
 $\frac{\partial u}{\partial y} \Big|_{y=0} < 0$

A → C
顺压梯度

压强合力与粘性力合力方向相反，与流动方向相同，推动流体质点前进，不会发生流动分离

- 粘性影响部分被压力抵消，与平板相比，边界层增厚较慢
- 临界雷诺数增大

2022-4-13 西安交通大学流体力学课程组 89

曲壁边界层分离现象3

$\frac{\partial p}{\partial x} < 0$
 $\frac{\partial p}{\partial x} > 0$
 $\frac{\partial u}{\partial y} \Big|_{y=0} > 0$
 $\frac{\partial u}{\partial y} \Big|_{y=0} = 0$
 $\frac{\partial u}{\partial y} \Big|_{y=0} < 0$

C → E
逆压梯度

压强合力与粘性力合力方向相同，都与与流动方向相反，阻止流体质点前进，流体质点减速

- 总合力与速度方向相反， u 逐渐减小
- 边界层增厚加快，临界雷诺数减小

2022-4-13 西安交通大学流体力学课程组 90

曲壁边界层分离现象4

$\frac{\partial p}{\partial x} < 0$
 $\frac{\partial p}{\partial x} > 0$
 $\frac{\partial u}{\partial y} \Big|_{y=0} > 0$
 $\frac{\partial u}{\partial y} \Big|_{y=0} = 0$
 $\frac{\partial u}{\partial y} \Big|_{y=0} < 0$

C → E
逆压梯度

分离点前
 $\frac{\partial u}{\partial y} \Big|_{y=0} > 0$

分离点后
 $\frac{\partial u}{\partial y} \Big|_{y=0} < 0$

壁面附近速度 u 微小，易减小为零甚至负值

分离点
 $\frac{\partial u}{\partial y} \Big|_{y=0} = 0$ $\tau_w \Big|_{y=0} = 0$ $\partial \tau_w(x, 0) / \partial x < 0$

2022-4-13 西安交通大学流体力学课程组 91

曲壁边界层分离现象5

边界层分离的必要条件

$\frac{\partial p}{\partial x} < 0$
 $\frac{\partial p}{\partial x} > 0$
 $\frac{\partial u}{\partial y} \Big|_{y=0} > 0$
 $\frac{\partial u}{\partial y} \Big|_{y=0} = 0$
 $\frac{\partial u}{\partial y} \Big|_{y=0} < 0$

逆压梯度
 $\partial p / \partial s > 0$ s 为主流方向

粘性流体

2022-4-13 西安交通大学流体力学课程组 92

流动分离必要条件

① 逆压梯度

压力合力与速度方向相反，与粘性力合力相同，流体速度逐渐减小，可能发生反向流动（回流）

② 粘性流体

壁面上必须满足无滑移条件，壁面附近存在低速流动区域

③ 存在固体壁面

发生分离不局限凸型壁面边界层。只要有上述三个条件存在，都可能发生流动分离

曲壁边界层分离现象6

分离点后边界层特征

① 法向 y 方向分速度 v 不再是小量

② 边界层厚度大幅度增加

③ 微分方程不成立

曲壁边界层分离现象7

尾迹区

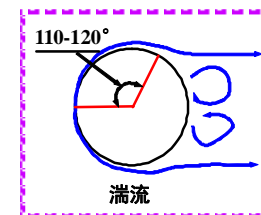
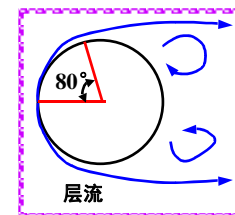
边界层分离后不断卷起旋涡，并流向下游形成尾迹；尾迹在物体下游沿伸一段距离

- ① 尾迹的整体形状受流动影响；
- ② 尾迹区中流动为粘性有旋；
- ③ 旋涡耗散能量；
- ④ 流动分离后粘性作用区域不再是小量，流动有效边界不再是物体表面，分离点有可能上移



曲壁边界层分离现象8

层流与湍流的分离



- ① 相同的逆压梯度下，层流边界层比湍流边界层更容易发生分离；
- ② 形状因子 H 越大，逆压梯度越强。

曲壁边界层分离现象实例1

流动分离实例



猫眼



圆柱绕流分离点和分离区

2022-4-13 西安交通大学力学课程组 97

曲壁边界层分离实例2

卡门涡街





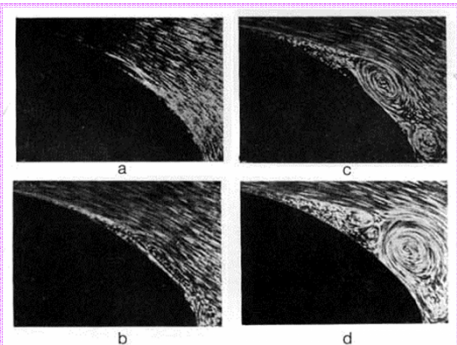
涡街流量计

2022-4-13 西安交通大学力学课程组

曲壁边界层分离实例2

凸壁钝体从静止开始的运动初期边界层发展

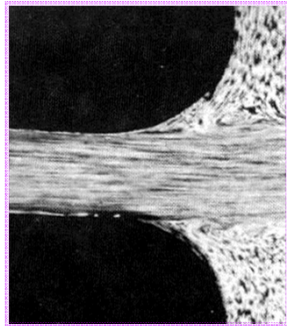
氢气泡技术
Prandtl
1943拍摄



2022-4-13 西安交通大学力学课程组 99

曲壁边界层分离实例3

二维扩张管内的流动



当初 Prandtl 就是从此受到启发后来创立了边界层理论

2022-4-13 西安交通大学力学课程组 100

曲壁边界层分离实例4

压缩机叶栅通道 增压减速，逆压梯度

2022-4-13 西安交通大学流体力学课程组 101

分离流动危害

- ① 内流带来能量损失
- ① 外流带来阻力增大
- ① 流体机械出现喘振，旋转失速
- ① 飞机失速
- ① 引起振动，噪音

2022-4-13 西安交通大学流体力学课程组 102

作业

作业：P.433~435

- ① 10.23
- ① 10.30
- ① 10.37

2022-4-13 西安交通大学流体力学课程组 103

10.6 绕流物体的阻力

阻力 绕流物体受到的表面力合力在来流方向分量

摩擦阻力 粘性直接作用的结果

① 切向力在来流方向的投影的总和

压差阻力 物体前后压强差引起的阻力

① 压力在来流方向的投影的总和

2022-4-13 西安交通大学流体力学课程组 104

绕流物体的阻力2

物体阻力的计算

$$D = C_D \frac{1}{2} \rho V_\infty^2 A$$

A \rightarrow 迎流面积或其它指定面积

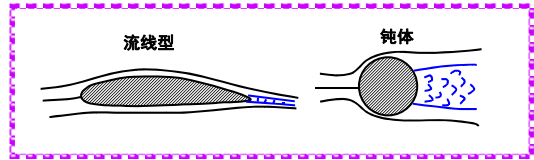
C_D \rightarrow 阻力系数(摩擦阻力、压差阻力)

$$C_D = f(\text{Re}, \text{物体形状}, \frac{\Delta}{l}, Ma, Fr)$$

2022-4-13 西安交通大学流体力学课程组 105

绕流物体的阻力3

物体形状的影响



- ④ 流线型物体总阻力几乎完全是摩擦阻力
- ④ 压差阻力的大小依赖于尾迹区的大小只取决于分离点的位置

2022-4-13 西安交通大学流体力学课程组 106

绕流物体的阻力4



 $C_D=0.8$	 $C_D=0.6$	 $C_D=0.45$
 $C_D=0.29 - 0.3$	 $C_D=0.19$	
 0.96 加导流罩 0.76	 0.98 \rightarrow 0.4 \rightarrow 0.1	

2022-4-13 西安交通大学流体力学课程组 107

绕流物体的阻力5



 海豚 $C_D = 0.0036$ $Re = 6 \times 10^6$	
 秃鹫 $C_D = 0.03$ $Re = 10^6$	
 鸽子 $C_D = 0.1$ $Re = 10^5$	

2022-4-13 西安交通大学流体力学课程组 108

绕流物体的阻力6

物体的不同朝向

2022-4-13 西安交通大学流体力学课程组 109

绕流物体的阻力7

Re的影响

中等Re数，层流边界层

小Re数，阻力主要由摩擦力组成 $C_D \propto Re^{-1}$

2022-4-13 西安交通大学流体力学课程组 110

绕流物体的阻力8

$500 < Re < 2 \times 10^5$ ，边界层分离，压差阻力成主要部分

$2 \times 10^5 \leq Re \leq 5 \times 10^5$ ，高Re数湍流边界层分离点后移，阻力陡降

2022-4-13 西安交通大学流体力学课程组 111

绕流物体的阻力9

2022-4-13 西安交通大学流体力学课程组 112

10 绕流物体的阻力10

壁面粗糙度的影响

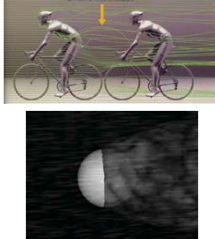
- 摩擦阻力为主
 - 减小壁面粗糙度，保持流动为层流
- 压差阻力为主
 - 层流边界层 $\xrightarrow{\text{粗糙度的影响}}$ 湍流边界层
 - 适当地增加壁面粗糙度，使尾迹区变小

2022-4-13 西安交通大学流体力学课程组 113

11 绕流物体的阻力11

减阻的一些措施

- 减小迎风面积
- 流线型外形设计
- 摩擦阻力为主时，增加表面光滑度
- 压差阻力为主时，某些情况下可适当增加表面粗糙度以减小阻力



2022-4-13 西安交通大学流体力学课程组 114

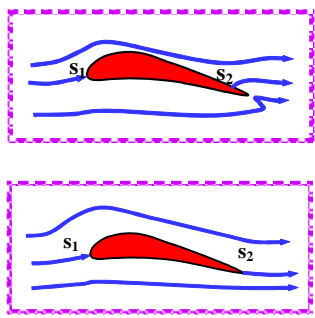
10.7 绕流物体的升力

升力的产生（机翼绕流）

开始绕流的瞬间

s_1, s_2 为前后驻点

只要流动不分离，上、下表面流体在尖后缘处汇合

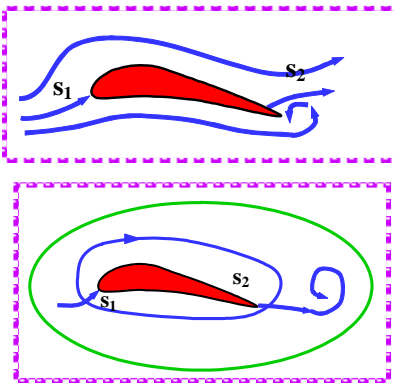


2022-4-13 西安交通大学流体力学课程组 115

12 绕流物体的升力2

启动涡

附着涡



2022-4-13 西安交通大学流体力学课程组 116

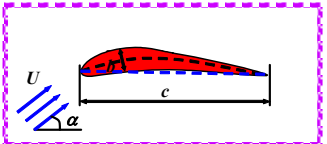
绕流物体的升力4

物体升力的计算

$$L = C_L \frac{1}{2} \rho V_\infty^2 A$$

A → 单位展长与弦长的乘积

C_L → 升力系数，由机翼形状确定



2022-4-13 西安交通大学流体力学课程组 117

绕流物体的升力5



波音747
→ 7182N/m²



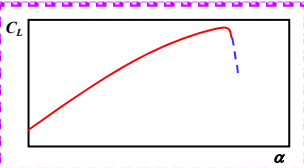
大黄蜂
→ 47.88N/m²

2022-4-13 西安交通大学流体力学课程组 118

绕流物体的升力6

升力系数随攻角的变化

◎ 攻角增大，升力系数随之增大



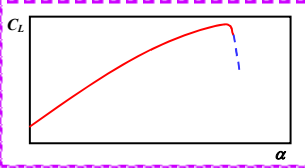
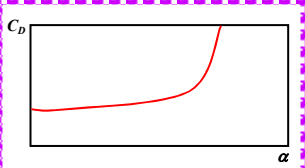

2022-4-13 西安交通大学流体力学课程组 119

绕流物体的升力7

升力系数随攻角的变化

stall

◎ 失速—升力系数陡降，阻力系数陡增

翼型上表面流动大面积分离

2022-4-13 西安交通大学流体力学课程组 120

绕流物体的升力8

升力系数随展弦比的增大而增大

- 大展弦比 → 滑翔机、信天翁、海燕
- 小展弦比 → 特技表演机



2022-4-13 西安交通大学力学课程组 121

小结1

边界层

- 边界层的概念
- 边界层流动的特征
- 边界层内流动状态的转化
- 名义厚度、位移厚度、动量损失厚度

2022-4-13 西安交通大学力学课程组 122

小结2

边界层动量积分方程

$$\frac{d}{dx} \left(\int_0^\delta \rho u^2 dy \right) - U \frac{d}{dx} \left(\int_0^\delta \rho u dy \right) = -\tau_w - \delta \frac{dp}{dx}$$

- 适用条件
- 速度分布的边界条件
 - 固壁处
 - 与外部势流衔接处

2022-4-13 西安交通大学力学课程组 123

小结3

边界层动量积分方程的应用

粘性、不可压、定常、二元边界层、物面曲率很小

顺流平板 $\frac{dp}{dx} = \frac{dU}{dx} = 0$

→ $\frac{d\theta}{dx} = \frac{\tau_w}{\rho V_\infty^2}$

2022-4-13 西安交通大学力学课程组 124

	层流边界层	湍流边界层
速度分布	多项式	1/7次方分布
壁面切应力	$\tau_w = \mu \frac{du}{dy}$	$\tau_w = \frac{\Delta p}{l} \frac{D}{4}$
厚度 δ	$\delta \propto x^{1/2}$ $\delta = 5.0 \sqrt{\frac{\mu}{\rho V_\infty}} x$	$\delta \propto x^{4/5}$ $\delta = 0.37 \frac{x}{\text{Re}_x^{0.2}}$

2022-4-13

西安交通大学流体力学课程组

125

	层流边界层	湍流边界层
$\tau_w \sim x$	x 增大, τ_w 减小	
阻力 D	$D = C_D \frac{1}{2} \rho V_\infty^2 A$	
阻力系数	$C_D = \frac{1.328}{\sqrt{\text{Re}_L}}$	$C_D = \frac{0.074}{(\text{Re}_L)^{1/5}}$ $C_D = \frac{0.455}{(\lg \text{Re}_L)^{2.58}}$

2022-4-13

西安交通大学流体力学课程组

126

小结6

曲壁边界层分离

◎ 曲壁边界层分离的必要条件

物体的阻力

{

摩擦阻力

压差阻力

物体的升力

2022-4-13

西安交通大学流体力学课程组

127

复习 4/13/2022

边界层的主要特征

- ◎ 近壁区薄层, 厚度逐渐增大
- ◎ $\partial u / \partial y$ 很大, 粘性有旋
- ◎ 物面曲率较小时, $\partial p / \partial y \approx 0$
- ◎ 流态变化, 从前缘起为层流, 后向湍流转捩
- ◎ 边界层内惯性力与粘性力量级相当

动量积分方程 $\Rightarrow \frac{d\theta}{dx} + \frac{1}{U} \frac{dU}{dx} (2\theta + \delta^*) = \frac{\tau_w}{\rho U^3}$

◎ 定常、不可压、二元边界层、物面曲率很小

2022-4-13

西安交通大学流体力学课程组

128

复习 4/13/2022

速度分布需满足的边界条件

- ② 壁面无滑移条件；与势流衔接处速度、切应力；物面形状条件

顺流平板层流边界层 $\Rightarrow \frac{d\theta}{dx} = \frac{\tau_w}{\rho U^2} \Leftarrow \frac{dp}{dx} = \frac{dU}{dx} = 0$

- ② 速度分布：多项式分布等
- ② 壁面切应力：牛顿内摩擦定律

$$\delta = 5.0 \sqrt{\frac{\mu}{\rho V_\infty}} x$$

$$D = C_D \frac{1}{2} \rho V_\infty^2 A$$


$$C_D = \frac{1.328}{\sqrt{\text{Re}_L}}$$

2022-4-13 西安交通大学流体力学课程组 129

普朗特

- ② 德国物理学家，现代空气动力学之父

- ✗ 1900，慕尼黑工业大学，博士学位
- ✗ 1904，边界层理论
- ✗ 风洞实验技术，1906 第一个超音速风洞
- ✗ 机翼理论，1913 - 1918，升力线理论和最小诱导阻力理论，升力面理论等
- ✗ 湍流理论，层流稳定性和湍流混合长度理论
- ✗ 亚声速相似律和可压缩绕角膨胀流动，后被称为普朗特-迈耶尔流动
- ✗ 柱体塑性区的屈曲问题—冯·卡门的博士学位论文



Ludwing Prandtl
1875 -1953

2022-4-13 西安交通大学流体力学课程组 130